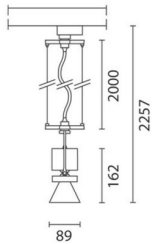


Dernière mise à jour des informations: Juillet 2024

Configuration du produit: RR66

RR66: Suspension pour rail - Projecteur petit corps - warm white - DALI - VERY WIDE FLOOD



Référence produit

RR66: Suspension pour rail - Projecteur petit corps - warm white - DALI - VERY WIDE FLOOD

Description technique

Appareil d'éclairage de type suspension avec adaptateur pour installation sur rail électrique DALI. Source LED à haut rendement avec indice de rendu de couleur élevé. Projecteur suspendu orientable en aluminium moulé sous pression et matière thermoplastique. Système de suspension équilibré avec double filin en acier - L max 2000 mm - et système de réglage. Fourni avec blocages mécaniques de l'orientation ; les mouvements de rotation et inclinaison peuvent être bloqués afin de garantir une orientation précise de la lumière, même une fois installé ou pendant les interventions d'entretien. Le groupe optique est pourvu d'un anneau porte-accessoires pouvant contenir un accessoire plat. Possibilité d'appliquer un autre composant externe - écran asymétrique / déflecteurs ; les accessoires externes peuvent tourner librement par rapport à l'axe longitudinal du projecteur. Unité d'alimentation gradable DALI intégrée au corps le projecteur.

Installation

Installation sur rail électrique - filins de suspension L max 2000

Coloris

Blanc (01) | Gris/Noir (74)

Poids (Kg)

1.01

Montage

rail dali|suspendu à un rail 3 allumages

Câblage

Unité d'alimentation gradable DALI intégrée.

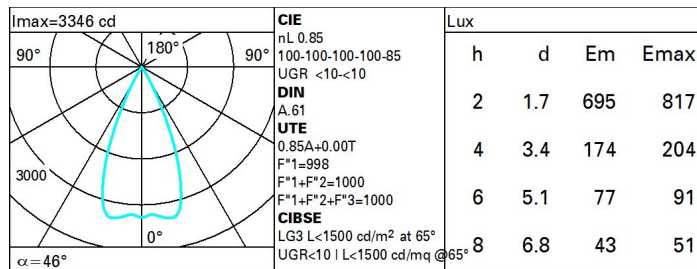
Conforme à la norme EN60598-1 et à la réglementation en vigueur (o 'à la réglementation relative')



Données techniques

| | | | |
|--|------|--------------------------------------|---------------------------------|
| Im du système: | 1768 | IRC (minimum): | 90 |
| W du système: | 22.3 | Température de couleur [K]: | 3000 |
| Im source: | 2080 | MacAdam Step: | 2 |
| W source: | 17 | Durée de vie LED 1: | > 50,000h - L90 - B10 (Ta 25°C) |
| Efficacité lumineuse (lm/W, valeurs du système): | 79.3 | Code Lampe: | LED |
| Im en mode secours: | - | Nombre de lampes par groupe optique: | 1 |
| Flux total émis à un angle de 90° ou plus [Lm]: | 0 | Code ZVEI: | LED |
| Light Output Ratio (L.O.R.) [%]: | 85 | Nombre de groupes optiques: | 1 |
| Angle d'ouverture [°]: | 46° | Control: | DALI-2 |

Polaire



Coefficients d'utilisation

| | | | | | | | | | |
|------|----|----|----|----|----|----|----|----|-----|
| R | 77 | 75 | 73 | 71 | 55 | 53 | 33 | 00 | DRR |
| K0.8 | 77 | 73 | 70 | 68 | 72 | 70 | 69 | 67 | 78 |
| 1.0 | 80 | 77 | 74 | 72 | 76 | 73 | 73 | 70 | 83 |
| 1.5 | 84 | 81 | 79 | 78 | 80 | 79 | 78 | 75 | 89 |
| 2.0 | 87 | 85 | 83 | 82 | 84 | 82 | 81 | 79 | 93 |
| 2.5 | 88 | 87 | 86 | 85 | 86 | 85 | 84 | 81 | 96 |
| 3.0 | 89 | 88 | 87 | 87 | 87 | 86 | 85 | 83 | 98 |
| 4.0 | 90 | 90 | 89 | 89 | 88 | 88 | 86 | 84 | 99 |
| 5.0 | 91 | 90 | 90 | 90 | 89 | 89 | 87 | 85 | 100 |

Courbe limite de luminance

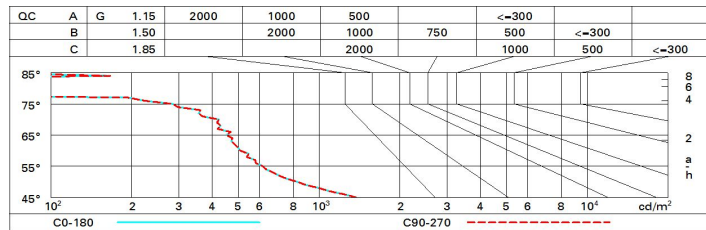


Diagramme UGR

| Corrected UGR values (at 2080 lm bare lamp luminous flux) | | | | | | | | | | | |
|---|------|------------------|------|------|------|------|----------------|------|------|------|------|
| Reflect.: | | viewed crosswise | | | | | viewed endwise | | | | |
| ceil/cav | | 0.70 | 0.70 | 0.50 | 0.50 | 0.30 | 0.70 | 0.70 | 0.50 | 0.50 | 0.30 |
| walls | | 0.50 | 0.30 | 0.50 | 0.30 | 0.30 | 0.50 | 0.30 | 0.50 | 0.30 | 0.30 |
| work pl. | | 0.20 | 0.20 | 0.20 | 0.20 | 0.20 | 0.20 | 0.20 | 0.20 | 0.20 | 0.20 |
| Room dim | | | | | | | | | | | |
| x | y | | | | | | | | | | |
| 2H | 2H | 0.3 | 0.9 | 0.6 | 7.1 | 7.3 | 0.3 | 0.9 | 0.6 | 7.1 | 7.3 |
| | 3H | 0.2 | 0.7 | 0.5 | 7.0 | 7.2 | 0.2 | 0.7 | 0.5 | 7.0 | 7.2 |
| | 4H | 0.1 | 0.6 | 0.4 | 6.9 | 7.2 | 0.1 | 0.6 | 0.4 | 6.9 | 7.2 |
| | 6H | 0.0 | 0.5 | 0.4 | 6.8 | 7.1 | 0.0 | 0.5 | 0.4 | 6.8 | 7.1 |
| | 8H | 0.0 | 0.4 | 0.4 | 6.7 | 7.1 | 0.0 | 0.4 | 0.3 | 6.7 | 7.1 |
| | 12H | 0.0 | 0.4 | 0.3 | 6.7 | 7.1 | 0.0 | 0.4 | 0.3 | 6.7 | 7.0 |
| 4H | 2H | 0.1 | 0.6 | 0.4 | 6.9 | 7.2 | 0.1 | 0.6 | 0.4 | 6.9 | 7.2 |
| | 3H | 0.0 | 0.4 | 0.3 | 6.7 | 7.1 | 0.0 | 0.4 | 0.3 | 6.7 | 7.1 |
| | 4H | 5.9 | 6.2 | 6.3 | 6.6 | 7.0 | 5.9 | 6.2 | 6.3 | 6.6 | 7.0 |
| | 6H | 5.8 | 6.1 | 6.2 | 6.5 | 6.9 | 5.8 | 6.1 | 6.2 | 6.5 | 6.9 |
| | 8H | 5.7 | 6.0 | 6.2 | 6.5 | 6.9 | 5.8 | 6.0 | 6.2 | 6.5 | 6.9 |
| | 12H | 5.7 | 6.0 | 6.2 | 6.4 | 6.8 | 5.7 | 6.0 | 6.2 | 6.4 | 6.8 |
| 8H | 4H | 5.8 | 6.0 | 6.2 | 6.5 | 6.9 | 5.7 | 6.0 | 6.2 | 6.5 | 6.9 |
| | 6H | 5.7 | 5.9 | 6.1 | 6.3 | 6.8 | 5.7 | 5.9 | 6.1 | 6.3 | 6.8 |
| | 8H | 5.6 | 5.8 | 6.1 | 6.3 | 6.8 | 5.6 | 5.8 | 6.1 | 6.3 | 6.8 |
| | 12H | 5.6 | 5.7 | 6.1 | 6.2 | 6.7 | 5.6 | 5.7 | 6.1 | 6.2 | 6.7 |
| 12H | 4H | 5.7 | 6.0 | 6.2 | 6.4 | 6.8 | 5.7 | 6.0 | 6.2 | 6.4 | 6.8 |
| | 6H | 5.6 | 5.8 | 6.1 | 6.3 | 6.8 | 5.6 | 5.8 | 6.1 | 6.3 | 6.8 |
| | 8H | 5.6 | 5.7 | 6.1 | 6.2 | 6.7 | 5.6 | 5.7 | 6.1 | 6.2 | 6.7 |
| Variations with the observer position at spacing: | | | | | | | | | | | |
| S = | 1.0H | 6.9 / -13.9 | | | | | 6.9 / -13.9 | | | | |
| | 1.5H | 9.7 / -14.8 | | | | | 9.7 / -14.8 | | | | |
| | 2.0H | 11.7 / -15.4 | | | | | 11.7 / -15.4 | | | | |